

# Sobre códigos reticulados obtidos a partir das Construções A, D e D'

Ana Paula de Souza

Em parceria com Franciele Carmo, Eleonesio Strey e Sueli I. R. Costa

15 de junho de 2023



## EnCoRI 2023

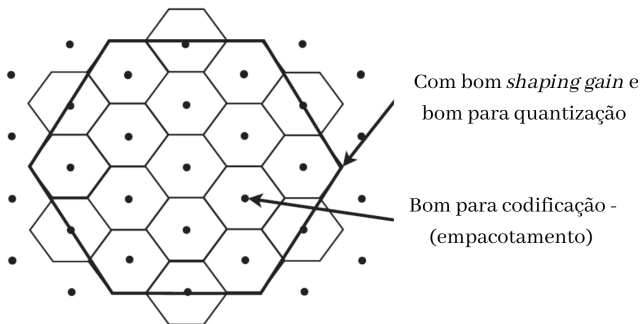
Encontro de Códigos, Reticulados e Informação

# Conteúdos

- 1 Motivação
- 2 Códigos Reticulados
  - Construção A
  - Construções D e D'
  - Construção D' Generalizada
- 3 Referências

## Motivação

**Um dos desafios em transmissões de sinais:** obter códigos capazes de aproximar da capacidade do canal (AWGN) e que possam ser codificados e decodificados de forma computacionalmente eficientes.



Fonte: Adaptada de [Zamir and Nazer, 2014].

## Códigos Reticulados

Sejam  $\Lambda_f, \Lambda_g \subset \mathbb{R}^n$  reticulados aninhados, isto é,  $\Lambda_g \subseteq \Lambda_f$ .

Como  $\Lambda_g$  é um subgrupo de  $\Lambda_f$  podemos considerar o grupo quociente

$$\Lambda_f / \Lambda_g = \{x + \Lambda_g : x \in \Lambda_f\}.$$

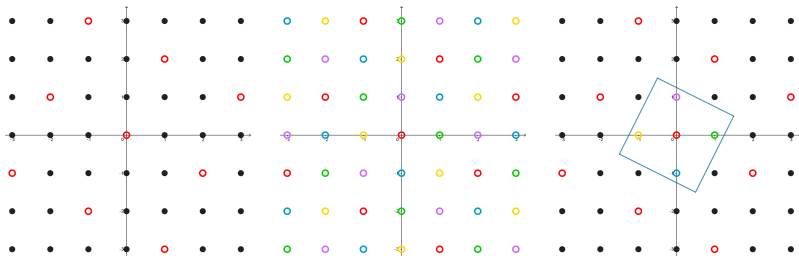
Chamamos de *Códigos Reticulados* o conjunto  $\mathcal{P}$  dado por uma seleção de líderes que represente univocamente todas as classes laterais de  $\Lambda_f / \Lambda_g$  com menor norma<sup>1</sup>.

---

<sup>1</sup>Introduzido por [Conway and Sloane, 1983], detalhada por [Forney, 1989] e seguimos [Pietro and Boutros, 2017]

## Exemplos

Figura 1: Exemplo de reticulados aninhados com as classes laterais de  $\Lambda_f/\Lambda_g$  e o Código Reticulado resultante.



((a)) Par de reticulados aninhados  $\Lambda_g \subset \Lambda_f$ . Os pontos vermelhos representam  $\Lambda_g$ .

((b)) Classes laterais de  $\Lambda_f/\Lambda_g$ . Cada cor representa elementos de  $\Lambda_f$  em uma classe lateral.

((c)) Os cinco pontos no interior de  $\mathcal{V}_{\Lambda_g}(\mathbf{0})$  formam o Código Reticulado  $\mathcal{P} = \Lambda_f \cap \mathcal{V}_{\Lambda_g}(\mathbf{0})$ .

Resumidamente:

**Etapa 1:** construir as diferentes classes laterais de  $\Lambda_g$  em  $\Lambda_f$  e tomar um líder de cada uma delas.

**Etapa 2:** encontrar para cada um dos líderes seu representante equivalente com menor norma.

Esse será um ponto do Código Reticulado.

## Etapa 1

## Proposição [Pietro and Boutros, 2017]

Sejam  $\Lambda_f = \mathcal{C} + p\mathbb{Z}^n$  um reticulado obtido pela Construção A de um código linear  $p$ -ário,  $\Gamma \subseteq \mathbb{Z}^n$  um reticulado inteiro e  $\Lambda_g = p\Gamma \subseteq p\mathbb{Z}^n$ ,  $p$  primo.

Consideramos  $T$  uma matriz geradora de  $\Gamma$  triangular inferior com  $t_{i,i} > 0$  para todo  $i$ :

$$T = \begin{pmatrix} t_{1,1} & 0 & \cdots & 0 \\ t_{2,1} & t_{2,2} & \cdots & 0 \\ \vdots & \vdots & \ddots & \vdots \\ t_{n,1} & t_{n,2} & \cdots & t_{n,n} \end{pmatrix}, \text{ com } t_{i,j} \in \mathbb{Z}.$$

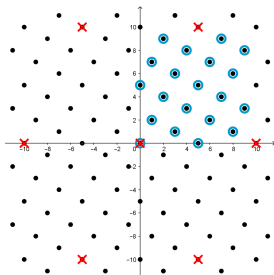
e  $\mathcal{S} = \{0, \dots, t_{1,1} - 1\} \times \cdots \times \{0, \dots, t_{n,n} - 1\}$ .

Então,  $\mathcal{C} + p\mathcal{S} = \{c + ps \in \mathbb{Z}^n : c \in \mathcal{C}, s \in \mathcal{S}\}$  é um conjunto completo de líderes das classes laterais de  $\Lambda_f / \Lambda_g$ .

## Ilustração

Sejam  $\Lambda_f = \mathcal{C} + 5\mathbb{Z}^2$ , com  $\mathcal{C} = \langle (1, 2) \rangle$  e  $\Gamma$  com matriz geradora  $T = \begin{pmatrix} 2 & 0 \\ 1 & 2 \end{pmatrix}$ . Dela, temos o conjunto  $\mathcal{S} = \{0, 1\} \times \{0, 1\}$ .  
 Escolhendo  $p = 5$ , temos  $\Lambda_g = 5\Gamma \subseteq 5\mathbb{Z}^2$ .

Figura 2:  $\Lambda_g$  e  $\Lambda_f$  e conjunto  $\mathcal{C} + p\mathcal{S}$ .

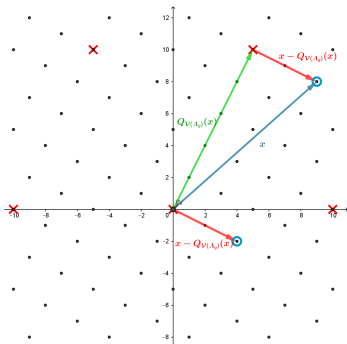


Pela Proposição,  $\mathcal{C} + 5\mathcal{S}$  é um conjunto completo de representantes das classes laterais de  $\Lambda_f / \Lambda_g$ .

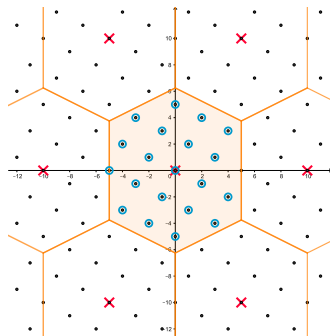


## Etapa 2

Encontrar para cada um dos líderes seu representante equivalente com menor norma euclidiana.



((a)) Operação para  $x = (9, 8)$ .



((b)) Código reticulado resultante.

## Codificação - Encoding

1. A informação será representada por vetores inteiros no conjunto  $\mathcal{M} = \mathbb{F}_p^k \times \mathcal{S}$ .
2. Seja  $\mathbf{m} = (\mathbf{u}, \mathbf{s}) \in \mathcal{M}$  uma mensagem a ser codificada com  $\mathbf{u} \in \mathbb{F}_p^k$  e  $\mathbf{s} \in \mathcal{S}$ . Seja  $\mathbf{c}$  a palavra código associada a  $\mathbf{u}$ , isto é, se  $enc_{\mathcal{C}}(\cdot) = \mathbb{F}_p^k \rightarrow \mathbb{F}_p^n$  é o codificador das palavras de  $\mathcal{C}$  então  $\mathbf{c} = enc_{\mathcal{C}}(\mathbf{u})$ .
3. Seja  $\mathbf{x}' = \mathbf{c} + p\mathbf{s} \in \Lambda_f$ .
4. Então a mensagem  $\mathbf{m}$  é codificada para a palavra código do reticulado

$$\mathbf{x} = \mathbf{x}' - Q_{\mathcal{V}(\Lambda_g)}(\mathbf{x}') \in \mathcal{P} = \Lambda_f \cap \mathcal{V}_{\Lambda_g}(\mathbf{0}),$$

em que  $Q_{\mathcal{V}(\Lambda_g)}(\cdot)$  é o quantizador associado à região de Voronoi do reticulado  $\Lambda_g$ .

Obs.: A Proposição garante que mensagens diferentes sejam codificadas para palavras diferentes do código reticulado.

## “Desmapeamento” - Demapping

Objetivo: recuperar  $\mathbf{m} = (\mathbf{u}, \mathbf{s})$  dado um elemento  $\mathbf{x} \in \Lambda_f$ .

1. Como  $Q_{\mathcal{V}(\Lambda_g)}(\mathbf{y}) \in \Lambda_g = p\Gamma$  para todo  $\mathbf{y} \in \mathbb{R}^n$ , nós obtemos  $\mathbf{c}$  reduzindo a módulo  $p$  o ponto  $\mathbf{x} = \mathbf{c} + p\mathbf{s} - Q_{\mathcal{V}(\Lambda_g)}(\mathbf{x}')$ .
2. Assumindo que a codificação foi feita de forma sistemática, obtemos  $\mathbf{u}$  como as primeiras coordenadas de  $\mathbf{c} = \text{enc}_{\mathcal{C}}(\mathbf{u}) = (\mathbf{u} | \mathbf{c}')$ .
3. Resta calcular  $\mathbf{s}$ . Já conhecemos  $\mathbf{x}$  e  $\mathbf{c}$ , então podemos calcular

$$\mathbf{r} = \frac{(\mathbf{x} - \mathbf{c})}{p} = \mathbf{s} - \frac{1}{p} Q_{\mathcal{V}(\Lambda_g)}(\mathbf{x}') = \mathbf{s} - \mathbf{q} \in \mathbb{Z}^n,$$

para algum  $\mathbf{q} \in \Gamma$ . Como  $\mathbf{T}$  é matriz geradora de  $\Gamma$ , temos  $\mathbf{r} = \mathbf{s} - \mathbf{z}\mathbf{T}$  para algum  $\mathbf{z} \in \mathbb{Z}^n$ .

4. Como  $\mathbf{T}$  é triangular, obtemos a  $i$ -ésima coordenada de  $\mathbf{r} = \mathbf{s} - \mathbf{z}\mathbf{T}$  fazendo, para  $i = 1, \dots, n$ ,

$$r_i = s_i - z_i t_{i,i} - \sum_{j=i+1}^n z_j t_{j,i}.$$

## Uma observação...

Para que a complexidade da codificação e do desmapeamento sejam lineares pedem que:

- $\Lambda_f$  seja um reticulado obtido por Construção A a partir de um código LDPC cuja matriz de paridade tenha uma submatriz esparsa com dupla diagonal. Isto é,

$$\Lambda_f = \mathcal{C} + p\mathbb{Z}^n,$$

em que  $\mathcal{C} = \{x \in \mathbb{F}_p^n : \mathbf{H}x^t \equiv \mathbf{0} \pmod{p}\}$  com  $\mathbf{H} = (\mathbf{L}|\mathbf{R})$  sendo

$$\mathbf{R} = \begin{pmatrix} h_{1,k+1} & 0 & \cdots & \cdots & 0 \\ h_{2,k+1} & h_{2,k+2} & \cdots & \cdots & 0 \\ 0 & \ddots & \ddots & \ddots & 0 \\ 0 & \cdots & 0 & h_{n-k,n-1} & h_{n-k,n} \end{pmatrix},$$

com  $h_{i,k+i} \neq 0$  para  $i = 1, 2, \dots, n-k$  e para  $h_{i,k+i-1} \neq 0$  para  $i = 2, 3, \dots, n-k$ .

Os resultados de [de Souza, 2021, Costa et al., 2017] possibilitaram estender a Proposição e os procedimentos anteriores para códigos  $q$ -ários (em  $\mathbb{Z}_q$ ).

### Extensão para reticulados obtidos pela Construção A a partir de códigos lineares $q$ -ários

Sejam  $\Lambda_f = \mathcal{C} + q\mathbb{Z}^n$  um reticulado obtido pela Construção A de um código linear  $q$ -ário,  $\Gamma \subseteq \mathbb{Z}^n$  um reticulado inteiro e  $\Lambda_g = q\Gamma \subseteq q\mathbb{Z}^n$ ,  $q \in \mathbb{Z}^*$ .

Consideramos  $T$  uma matriz geradora de  $\Gamma$  triangular inferior com  $t_{i,i} > 0$  para todo  $i$ :

$$T = \begin{pmatrix} t_{1,1} & 0 & \cdots & 0 \\ t_{2,1} & t_{2,2} & \cdots & 0 \\ \vdots & \vdots & \ddots & \vdots \\ t_{n,1} & t_{n,2} & \cdots & t_{n,n} \end{pmatrix}, \text{ com } t_{i,j} \in \mathbb{Z}.$$

e  $\mathcal{S} = \{0, \dots, t_{1,1} - 1\} \times \cdots \times \{0, \dots, t_{n,n} - 1\}$ .

Então,  $\mathcal{C} + q\mathcal{S} = \{c + qs \in \mathbb{Z}^n : c \in \mathcal{C}, s \in \mathcal{S}\}$  é um conjunto completo de líderes das classes laterais de  $\Lambda_f / \Lambda_g$ .

## Conexão entre as Construções D e A

### Teorema 5 de [Strey and Costa, 2017]

Sejam  $\mathbf{G}_1$  a matriz cujas linhas são os vetores  $\sigma(\mathbf{b}_1), \dots, \sigma(\mathbf{b}_{k_1})$  e  $\mathcal{C}$  o código linear  $q^a$ -ário gerado pelas linhas da matriz  $\mathbf{G} = \mathbf{D}\mathbf{G}_1$ , em que  $\mathbf{D} = (d_{ij})$  é a matriz diagonal com

$$d_{jj} = \begin{cases} 1, & \text{se } 1 \leq j \leq k_a \\ q, & \text{se } k_a < j \leq k_{a-1} \\ \vdots & \\ q^{a-1}, & \text{se } k_2 < j \leq k_1. \end{cases}$$

Temos que  $\Lambda_D = \Lambda_A(\mathcal{C})$ . Ou seja,  $\Lambda_D$  é um reticulado  $q^a$ -ário.

Essa associação permite, a partir da extensão anterior, usar também a Construção D neste processo, com possíveis ganhos de codificação/decodificação [Sakzad et al., 2010, Matsumine et al., 2018].

## Extensão para reticulados obtidos pela Construção D [de Souza, 2021]

Seja  $\mathbb{Z}_q^n \supseteq \mathcal{C}_1 \supseteq \mathcal{C}_2 \supseteq \cdots \supseteq \mathcal{C}_a$  uma família de códigos lineares com os parâmetros adequados para que  $\Lambda_f = \Lambda_D$  seja um reticulado obtido pela Construção D. Seja também  $\Gamma \subseteq \mathbb{Z}^n$  um reticulado inteiro com matriz geradora  $T$  triangular inferior com  $t_{i,i} > 0$  para todo  $i = 1, \dots, n$  e  $\Lambda_g = q^a \Gamma$ . Então, para  $\mathcal{C} = \Lambda_f \cap [0, q^a)^n$  um conjunto completo de representantes das classes laterais de  $\Lambda_f / \Lambda_g$  é dado por

$$\mathcal{C} + q^a \mathcal{S},$$

com  $\mathcal{S} = \{0, \dots, t_{1,1} - 1\} \times \cdots \times \{0, \dots, t_{n,n} - 1\}$ .

## Conexão entre as Construções D' e A

Teorema 3.17 de [do Carmo Silva et al., 2023]

Sob as notações da definição da Construção D' temos que

$$\Lambda_{D'} = \Lambda_A(\mathcal{C}^\perp),$$

em que  $\mathcal{C}^\perp = \Lambda_{D'} \cap [0, q^a)^n$  é o código dual  $q^a$ -ário com matriz de paridade  $\rho_{q^a}(\mathbf{H})$ , em que  $\mathbf{H} = \mathbf{D}\mathbf{H}_a$  sendo  $\mathbf{H}_a$  a matriz cuja as linhas são os elementos  $\sigma(\mathbf{h}_1), \dots, \sigma(\mathbf{h}_{r_a})$  e  $\mathbf{D}$  a matriz diagonal semelhante à definida anteriormente para a Construção D.

A partir dessa associação, também é possível utilizar a Construção D' na proposta para obtenção dos Códigos Reticulados visando ganhos de codificação/decodificação [Zhou et al., 2021, Zhou and Kurkoski, 2022].



## Construção D' Generalizada<sup>2</sup> [da Silva and Silva, 2018]


Sejam  $\mathbf{H}_\ell \in \mathbb{Z}^{m_\ell \times n}$  tal que  $\mathbf{H}_\ell \equiv \mathbf{F}_\ell \mathbf{H}_{\ell-1} \pmod{2^\ell}$ , para  $\ell = 0, \dots, a-1$  e algum  $\mathbf{F}_\ell \in \mathbb{Z}^{m_\ell \times m_{\ell-1}}$ . O reticulado

$$\Lambda = \{\mathbf{x} \in \mathbb{Z}^n : \mathbf{H}_\ell \mathbf{x}^t \equiv \mathbf{0} \pmod{2^{\ell+1}}, 0 \leq \ell \leq a-1\}$$

é dito ser obtido pela Construção D' Generalizada aplicada a  $\mathbf{H}_0, \dots, \mathbf{H}_{a-1}$ . Equivalentemente,  $\Lambda = \mathcal{C} + 2^a \mathbb{Z}^n$ .

### Vantagens:

- As matrizes  $\mathbf{H}_\ell$  para  $\ell = 0, \dots, a-1$  dos códigos  $\mathcal{C}_\ell$  associados não precisam ser aninhadas.
- As características da Construção D' são mantidas, mas com codificação e decodificação mais eficientes.

<sup>2</sup>Para códigos binários, aplicável também para códigos p-ários, p primo. 

## Perspectivas

- Uso da Construção D' Generalizada como reticulado  $\Lambda_f$  na proposta de [Pietro and Boutros, 2017].
- Análise da viabilidade e complexibilidade computacional ao utilizar as diferentes construções.

- [Conway and Sloane, 1983] Conway, J. and Sloane, N. J. A. (1983).  
A Fast Encoding Method for Lattice Codes and Quantizers.  
*IEEE Transactions on Communication*, 29.
- [Costa et al., 2017] Costa, S. I., Oggier, F., Campello, A., Belfiore, J.-C., and Viterbo, E. (2017).  
*Lattices Applied to Coding for Reliable and Secure Communications*.  
Springer.
- [da Silva and Silva, 2018] da Silva, P. R. B. and Silva, D. (2018).  
Multilevel LDPC Lattices With Efficient Encoding and Decoding and a  
Generalization of Construction D' .  
*IEEE Transactions on Information Theory*, 65(5):3246–3260.
- [de Souza, 2021] de Souza, A. P. (2021).  
Sobre constelações de voronoi para códigos em reticulados e problemas de  
codificação de índice.  
Master's thesis, Universidade Estadual de Campinas.
- [do Carmo Silva et al., 2023] do Carmo Silva, F., de Souza, A. P., Strey, E., and Costa, S. I. R. (2023).  
On lattice constructions  $d$  and  $d'$  from  $q$ -ary linear codes.  
*arXiv e-prints*, pages arXiv–2303.

- [Forney, 1989] Forney, G. D. (1989).  
Multidimensional constellations. ii. voronoi constellations.  
*IEEE Journal on Selected Areas in Communications*, 7(6):941–958.
- [Matsumine et al., 2018] Matsumine, T., Kurkoski, B. M., and Ochiai, H. (2018).  
Construction D lattice decoding and its application to BCH code lattices.  
In *2018 IEEE Global Communications Conference (GLOBECOM)*, pages 1–6. IEEE.
- [Pietro and Boutros, 2017] Pietro, N. and Boutros, J. J. (2017).  
Leech Constellations of Construction-A Lattices.  
*IEEE Transactions on Communication*, 65:4622–4631.
- [Sakzad et al., 2010] Sakzad, A., Sadeghi, M.-R., and Panario, D. (2010).  
Construction of turbo lattices.  
In *2010 48th Annual Allerton Conference on Communication, Control, and Computing (Allerton)*, pages 14–21. IEEE.
- [Strey and Costa, 2017] Strey, E. and Costa, S. I. R. (2017).  
Lattices from codes over  $\mathbb{Z}_q$ : Generalization of Constructions  $D$ ,  $D'$  and  $\bar{D}$ .  
*Designs, Codes and Cryptography*, 85(1):77–95.

- [Zamir and Nazer, 2014] Zamir, R. and Nazer, B. (2014).  
*Lattice Coding for Signals and Networks: A Structured Coding Approach to Quantization, Modulation and Multiuser Information Theory.*  
Cambridge Univ. Press, New York, NY, USA.
- [Zhou et al., 2021] Zhou, F., Fitri, A., Anwar, K., and Kurkoski, B. M. (2021).  
Encoding and Decoding Construction  $D'$  Lattices for Power-Constrained Communications.  
In *2021 IEEE International Symposium on Information Theory (ISIT)*, pages 1005–1010.  
IEEE.
- [Zhou and Kurkoski, 2022] Zhou, F. and Kurkoski, B. M. (2022).  
Construction  $D'$  Lattices for Power-Constrained Communications.  
*IEEE Transactions on Communications*, 70(4):2200–2212.